

液晶与显示



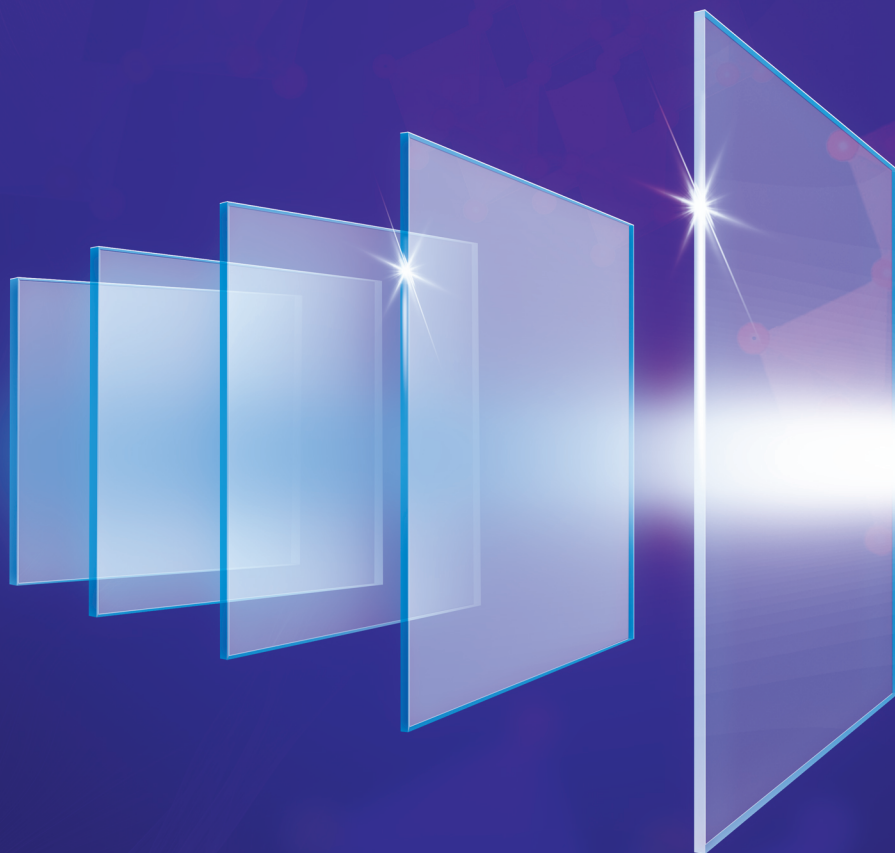
www.yjyxs.com

2021年 第36卷 第5期 Chinese Journal of Liquid Crystals and Displays

WO₃薄膜电致变色器件的响应时间测试及其改善方案

Measuring and improving response time of WO₃ thin film electrochromic devices

DOI: 10.37188/CJLCD.2020-0293



中国科学院长春光学精密机械与物理研究所
京 东 方 科 技 集 团 股 份 有 限 公 司
中 国 物 理 学 会 液 晶 分 会
中 国 光 学 光 电 子 行 业 协 会 液 晶 分 会

主办



液 晶 与 显 示

Yejing Yu Xianshi

第 36 卷 第 5 期 2021 年 5 月

目 次

• 材料物理 •

喷墨打印 PVP 绝缘层柔性薄膜晶体管研究

..... 陶 洪, 罗浩德, 宁洪龙, 姚日晖, 蔡 炜, 郑喜凤, 汪 洋, 王 铂, 曹 慧, 彭俊彪(633)

• 器件物理及器件制备 •

WO₃ 薄膜电致变色器件的响应时间测试及其改善方案

..... 孙天皓, 刘红均, 伏桂月, 娄 飞, 李 涵, 刘召军, 邱成峰(641)

环境湿度对非晶铟镓锌氧薄膜晶体管负偏压光照稳定性的影响 冯国锋, 章 珺, 董承远(649)

基于琼斯矩阵的液晶偏振光栅扭曲角及厚度的测量方法 陈 琰, 杨程亮, 穆全全, 王启东(656)

自适应光学系统误差分析与参数优化研究

..... 赵子云, 顾 虎, 马文超, 胡栋挺, 曹 朔, 刘新宇, 吴晶晶, 朱华新, 苏宙平, 胡立发(663)

基于 DIC 的 3D 打印不同构建取向成型试件的力学性能分析

..... 张 彬, 钟宜辰, 陈凡秀, 高新亚, 王 满, 张兆军, 赵伟娜, 周晓宾(673)

• 器件驱动与控制 •

硅基 OLED 数字型像素驱动电路 MOS 管尺寸对数据写入的影响

..... 徐 勇, 祁鹏赫, 黄 冉, 赵博华, 刘梦新(680)

微结构用于视角可控的液晶显示技术 钟德镇, 刘 瑞, 姜丽梅(687)

• 显示技术与应用 •

光配向技术在 TFT-LCD 中的应用 马国靖, 王 丹, 陆顺沙, 卢梦梦, 郭庆森, 宋勇志, 陈维涛(694)

按压修复异物晕不良的影响因素 尹 磊, 陈 平, 冯 川, 韩海滨, 李娜娜, 刘 涛, 汤 晨(699)

• 图像处理 •

基于改进生成对抗网络的单帧图像超分辨率重建 陈宗航, 胡海龙, 姚剑敏, 严 群, 林志贤(705)

基于深度学习的磁瓦表面缺陷分割与识别 谢 舰, 姚剑敏, 严 群, 林志贤(713)

基于 ANTs 配准的多图谱分割算法比较研究 江 妍, 马 瑜, 芦 玥, 王 原, 梁远哲, 李 霞(723)

基于深度学习的遥感图像地物分割方法 沈言善, 王阿川(733)

基于卷积神经网络的漏液视觉检测 李思寒, 仇怀利, 吴 佳, 沈 彦(741)

改进的多尺度火焰检测方法 侯易呈, 王慧琴, 王 可(751)

Chinese Journal of Liquid Crystals and Displays

Vol.36 No. 5 May 2021

Contents

• Material Physics •

- Inkjet printing PVP dielectric for flexible thin film transistor TAO Hong, LUO Hao-de, NING Hong-long, YAO Ri-hui, CAI Wei, ZHENG Xi-feng, WANG Yang, WANG Bo, CAO Hui, PENG Jun-biao(633)

• Device Physics and Device Preparation •

- Measuring and improving response time of WO_3 thin film electrochromic devices SUN Tian-hao, LIU Hong-jun, FU Gui-yue, LOU Fei, LI Han, LIU Zhao-jun, QIU Cheng-feng(641)
- Influence of ambient humidity on the stability of negative bias illumination for amorphous indium gallium zinc oxide thin film transistors FENG Guo-feng, ZHANG Wen, DONG Chen-yuan(649)
- Method for measuring the twist angle and thickness of liquid crystal polarization grating based on Jones matrix CHEN Jin, YANG Cheng-liang, MU Quan-quan, WANG Qi-dong(656)
- Error budget and parameters optimization of adaptive optics system ZHAO Zi-yun, GU Hu, MA Wen-Chao, HU Dong-ting, CAO Shuo, LIU Xin-yu, WU Jing-jing, ZHU Hua-xin, SU Zhou-ping, HU Li-fa(663)
- Mechanical properties analysis of 3D printed specimens with different orientations based on DIC ZHANG Bin, ZHONG Yi-chen, CHEN Fan-xiu, GAO Xin-ya, WANG Xiao, ZHANG Zhao-jun, ZHAO Wei-na, ZHOU Xiao-bin(673)

• Driving and Controlling •

- Influence of MOS transistor size on data writing in digital driving pixel circuit of OLED-on-silicon XU Yong, QI Peng-he, HUANG Ran, ZHAO Bo-hua, LIU Meng-xin(680)
- Viewing angle controllable liquid crystal display technology with micro structure ZHONG De-zhen, LIU Rui, JIANG Li-mei(687)

• Display Technology and Applications •

- Application of optical alignment technology in TFT-LCD MA Guo-jing, WANG Dan, LU Shun-sha, LU Meng-meng, GUO Qing-sen, SONG Yong-zhi, CHEN Wei-tao(694)

- Influence factors of pressing repair for particle gap YIN Lei, CHEN Ping, FENG Chuan, HAN Hai-bin, LI Na-na, LIU Tao, TANG Chen(699)

• Image Processing •

- Single frame image super-resolution reconstruction based on improved generative adversarial network CHEN Zong-hang, HU Hai-long, YAO Jian-min, YAN Qun, LIN Zhi-xian(705)

- Segmentation and recognition of magnetic tile surface defects based on deep learning XIE Jian, YAO Jian-min, YAN Qun, LIN Zhi-xian(713)

- Comparative study of the multi-atlas segmentation algorithm based on ANTs registration JIANG Yan, MA Yu, LU Yue, WANG Yuan, LIANG Yuan-zhe, LI Xia(723)

- Remote sensing image feature segmentation method based on deep learning SHEN Yan-shan, WANG A-chuan(733)

- Visual detection of liquid leakage based on convolutional neural network LI Si-han, QIU Huai-li, WU Jia, SHEN Yan(741)

- Improved multi-scale flame detection method HOU Yi-cheng, WANG Hui-qin, WANG Ke(751)